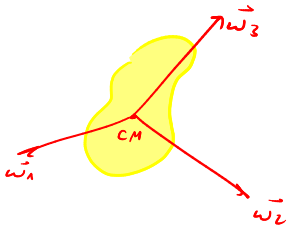


# Ángulos de Euler

- Sistema de ejes principales  $\vec{I} = \text{diag}(I_1, I_2, I_3) = \begin{pmatrix} I_1 & 0 & 0 \\ 0 & I_2 & 0 \\ 0 & 0 & I_3 \end{pmatrix}$



Los ángulos de Euler son una base de los giros simultáneos que describen los movimientos alrededor del centro de masa (CM).

Hay varias convenciones pero la siguiente los compone los giros en:

• Sistema fijo  $S(x, y, z)$

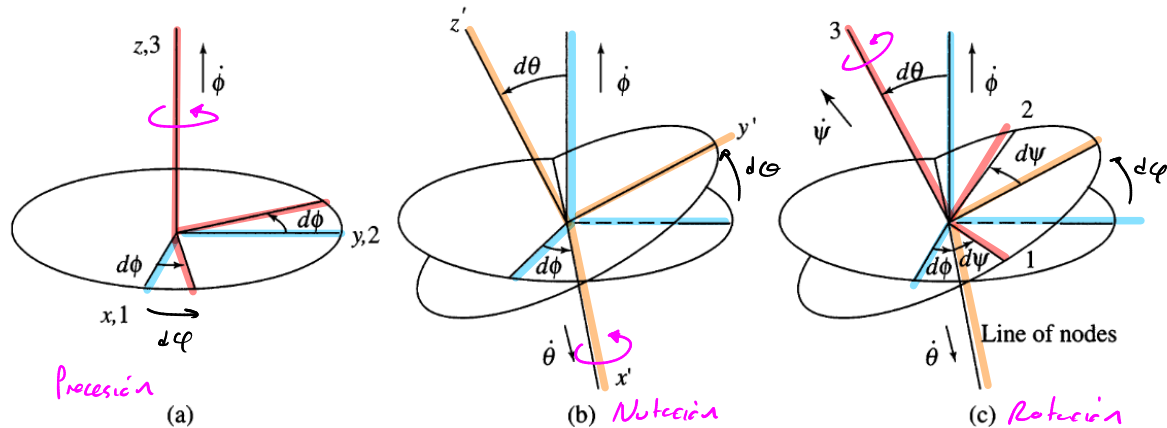
• Sistema intermedio  $S'(x', y', z')$

• Sistema de ejes principales  $S(1, 2, 3)$

$\varphi$ : Precesión

$\theta$ : Nutación

$\psi$ : Rotación



**Figure 9.6.2** Generation of any arbitrary infinitesimal rotation of a rigid body as the vector sum of infinitesimal rotations through the free Eulerian angles, (a)  $d\phi$ , (b)  $d\theta$ , and (c)  $d\psi$ .

Podemos escribir a las velocidades  $\dot{\varphi}$ ,  $\dot{\theta}$ ,  $\dot{\psi}$  en las bases de los tres sistemas. Las expresiones finales son las siguientes:

Sistema fijo

$$\underline{\dot{\varphi}} = (0, 0, \dot{\varphi})_{xyz}$$

$$\underline{\dot{\theta}} = \dot{\theta} (\cos \varphi, \sin \varphi, 0)_{xyz}$$

$$\underline{\dot{\psi}} = \dot{\psi} (\sin \theta \sin \varphi, \sin \theta \cos \varphi, \cos \theta)_{xyz}$$

Sistema intermedio

$$\underline{\dot{\varphi}} = \dot{\varphi} (0, \sin \theta \cos \theta, 0)_{x'y'z'}$$

$$\underline{\dot{\theta}} = (\dot{\theta}, 0, 0)_{x'y'z'}$$

$$\underline{\dot{\psi}} = (0, 0, \dot{\psi})_{x'y'z'}$$

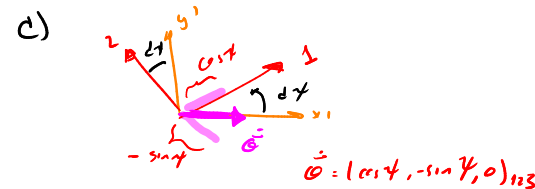
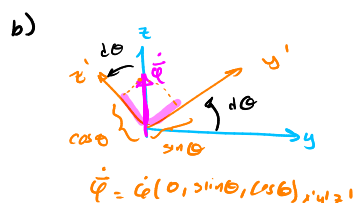
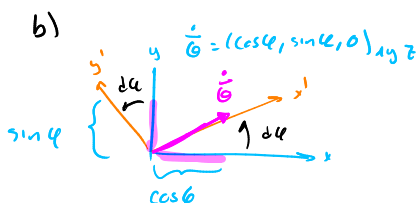
Sistema de ejes principales

$$\underline{\dot{\varphi}} = \dot{\varphi} (\sin \theta \sin \varphi, \sin \theta \cos \varphi, \cos \theta)_{123}$$

$$\underline{\dot{\theta}} = \dot{\theta} (\cos \theta, -\sin \varphi, 0)_{123}$$

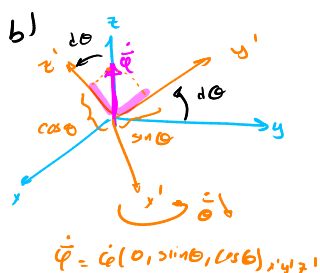
$$\underline{\dot{\psi}} = (0, 0, \dot{\psi})_{123}$$

→ Las expresiones subrayadas en negro son "finales" pues son la definición de los giros  
→ Las subrayadas en rosa se obtienen al realizar una rotación alrededor del eje  $z$  (de  $\varphi$ ), del eje  $x'$  (de  $\theta$ ) o del eje  $z'$  (de  $\psi$ ), respectivamente



→ Los términos que quedan se obtienen de realizar las rotaciones a cada uno

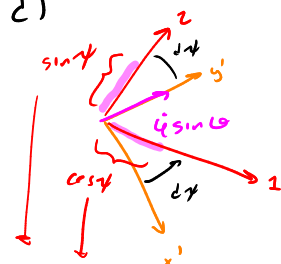
• Para  $(\vec{\omega})_{123}$ , partimos de  $(\vec{\omega})_{x'y'z'}$ :



Rotación de  $\psi$   
respecto  
a  $z' = z$

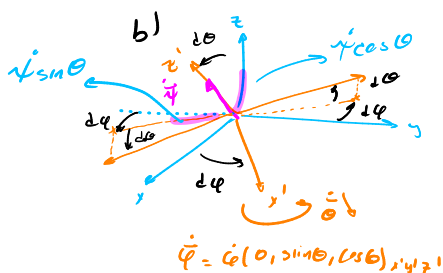
no decir  
 $\vec{\omega} \cdot \hat{e}_z = \omega \cos \theta$   
sin cambios

c)

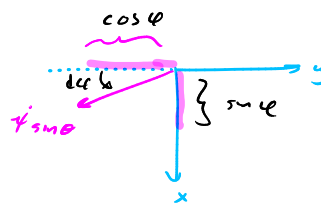


$$\vec{\omega} = \dot{\omega} (\sin \theta \cos \psi, \sin \theta \sin \psi, \cos \theta)_{123}$$

• Para  $(\vec{\omega})_{x'y'z'}$ , partimos de  $(\vec{\omega})_{x'y'z'}$  y proyectamos en el plano  $\pi_{xy}$  y el eje z



Proyectando  
en los  
ejes x, y

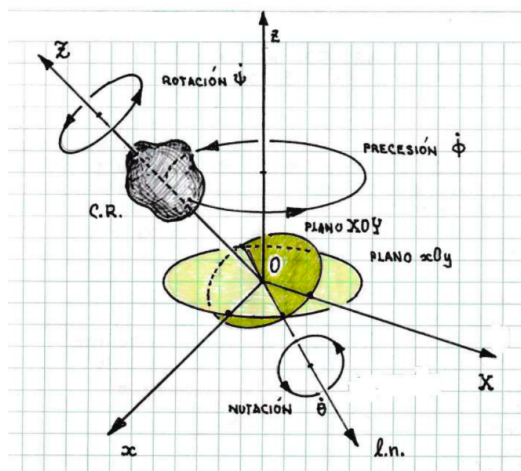


$$\Rightarrow \vec{\omega} = \dot{\omega} (\sin \theta \sin \psi, \sin \theta \cos \psi, \cos \theta)$$

Ahora, podemos escribir cualquier velocidad angular como  $\vec{\omega} = \vec{\dot{\phi}} + \vec{\dot{\theta}} + \vec{\dot{\psi}}$

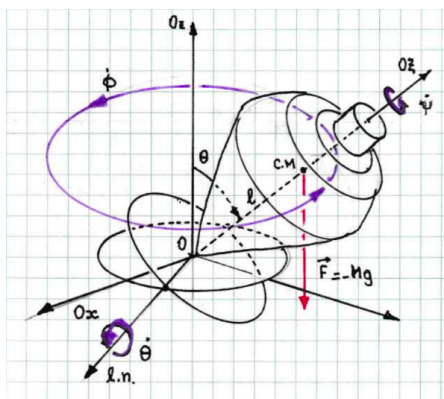
En el sistema de  
ejes principales

$$(\vec{\omega})_{123} = \begin{pmatrix} \dot{\theta} \cos \psi + \dot{\phi} \sin \theta \sin \psi \\ -\dot{\theta} \sin \psi + \dot{\phi} \sin \theta \cos \psi \\ \dot{\phi} \cos \theta + \dot{\psi} \end{pmatrix}_{123} = \begin{pmatrix} \omega_1 \\ \omega_2 \\ \omega_3 \end{pmatrix}$$



Ejemplo: El trompo simétrico

$$\vec{I} = \text{diag}(I_0, I_0, I_3)$$



El lagrangiano de este sistema es

$$\mathcal{L} = \frac{1}{2} \vec{\omega}^T \vec{I} \vec{\omega} - V(\phi, \theta, \psi)$$

$$= \frac{1}{2} I_0 (\dot{\theta}^2 + \dot{\phi}^2 \sin^2 \theta) + \frac{1}{2} I_3 (\dot{\phi} \cos \theta + \dot{\psi})^2 - [Mgl \cos \theta]$$

Por lo tanto vemos que hay dos cantidades conservadas:

1)  $\psi$ :  $P_\psi = \frac{\partial \mathcal{L}}{\partial \dot{\psi}} = I_3 (\dot{\phi} \cos \theta + \dot{\psi}) = I_3 \omega_3 \rightarrow$  Momento angular sobre el CM describe su rotación

2)  $\phi$ :  $P_\phi = \frac{\partial \mathcal{L}}{\partial \dot{\phi}} = (I_0 \sin \theta \dot{\phi}) \sin \theta + I_3 (\dot{\phi} \cos \theta + \dot{\psi}) \cos \theta = [I_0 \sin \theta \dot{\phi}] \sin \theta + P_\psi \cos \theta$

Notemos que  $(I_0 \dot{\phi} \sin^2 \theta)$  es el momento angular desde el eje  $z$ , perpendicular a este eje y que  $P_4 \cos \theta$  es la proyección de  $P_4$  en este plano; además ambos están en fase.

$\Rightarrow P_\phi \rightarrow$  es el momento angular que describe la precesión del tiempo

Notemos que de 1) y 2) obtenemos:

$$3) \quad \dot{\phi} = \frac{P_4 - P_4 \cos \theta}{I_0 \sin^2 \theta} \quad 4) \quad \dot{\chi} = \frac{P_4}{I_3} - \dot{\phi} \cos \theta = \frac{P_4}{I_3} - \frac{(P_4 - P_4 \cos \theta)}{I_0 \sin^2 \theta} \cos \theta, \quad 5) \quad \dot{\theta} = \frac{P_\theta}{I_0}$$

Ahora, calculando la última ecuación de Euler-Lagrange

$$\begin{aligned} \frac{d}{dt} \left( \frac{\partial L}{\partial \dot{\theta}} \right) &= \frac{\partial L}{\partial \theta} \longrightarrow I_0 \ddot{\theta} = \underbrace{\dot{\phi}^2 \sin \theta \cos \theta I_0^2}_{\text{}} - \underbrace{I_3 (\dot{\chi} + \dot{\phi} \cos \theta)}_{\text{}} \dot{\phi} \sin \theta + mgl \sin \theta \\ &= \left( \frac{P_4 - P_4 \cos \theta}{I_0 \sin^2 \theta} \right)^2 I_0^2 \sin \theta \cos \theta - P_4 \left( \frac{P_4 - P_4 \cos \theta}{I_0 \sin^2 \theta} \right) \sin \theta + mgl \sin \theta \\ \Rightarrow I_0 \ddot{\theta} &= \left( \frac{P_4 - P_4 \cos \theta}{I_0 \sin \theta} \right) \left[ \left( \frac{P_4 - P_4 \cos \theta}{\sin \theta} \right) \frac{\cos \theta}{\sin \theta} - P_4 \right] + mgl \sin \theta \end{aligned}$$

Podemos simplificar aún más la expresión

$$\begin{aligned} I_0 \ddot{\theta} &= \frac{1}{I_0 \sin^3 \theta} \left[ (P_4 - P_4 \cos \theta)^2 \cos \theta - P_4 \sin^2 \theta (P_4 - P_4 \cos \theta) \right] + mgl \sin \theta \\ &= \frac{1}{I_0 \sin^3 \theta} \left\{ \underbrace{P_4^2 \cos \theta}_{\text{}} - \underbrace{2 P_4 P_4 \cos^2 \theta}_{\text{}} + \cancel{P_4^2 \cos^3 \theta} - \underbrace{P_4 P_4 (1 + \cos \theta)}_{\text{}} + \underbrace{P_4^2 \cos \theta (1 - \cos \theta)}_{\text{}} \right\} + mgl \sin \theta \\ &= \frac{1}{I_0 \sin^3 \theta} \left\{ (P_4^2 + P_4^2) \cos \theta - P_4 P_4 \cos^2 \theta - P_4 P_4 \right\} + mgl \sin \theta \\ \therefore I_0 \ddot{\theta} &= \frac{(P_4^2 + P_4^2) \cos \theta - P_4 P_4 (1 + \cos^2 \theta)}{I_0 \sin^3 \theta} + mgl \sin \theta \end{aligned}$$

Basta con resolver para  $\theta(t)$  para obtener toda la dinámica del sistema.

Sin embargo el formalismo de Hamilton nos da más herramientas

$$\mathcal{H} = P_\theta \dot{\theta} + P_\phi \dot{\phi} + P_\chi \dot{\chi} - \mathcal{L}$$

Para notamos que

$$\begin{aligned} P_\theta \dot{\theta} + P_\phi \dot{\phi} + P_\chi \dot{\chi} &= P_\theta \left( \frac{\dot{\theta}}{I_0} \right) + P_\phi \left( \frac{P_4 - P_4 \cos \theta}{I_0 \sin^2 \theta} \right) + P_\chi \left( \frac{P_4}{I_3} - \frac{(P_4 - P_4 \cos \theta)}{I_0 \sin^2 \theta} \cos \theta \right) \\ &= \frac{P_\theta^2}{I_0} + \frac{P_4^2}{I_3} + \frac{1}{I_0 \sin^2 \theta} \left( P_4^2 - P_4 P_4 \cos \theta - P_4 P_4 \cos \theta + P_4^2 \cos^2 \theta \right) \end{aligned}$$

Por lo que  $p_\theta \dot{\theta} + p_\varphi \dot{\varphi} + p_\chi \dot{\chi} = \frac{1}{I_0} p_\theta^2 + \frac{1}{I_3} p_\chi^2 + \frac{1}{I_0 \sin^2 \theta} (p_\varphi - p_\chi \cos \theta)^2$

y como  $(\dot{\varphi} \cos \theta - \dot{\chi}) = \frac{p_\chi}{I_3}$  y  $\dot{\varphi}^2 \sin^2 \theta = \frac{(p_\varphi - p_\chi \cos \theta)^2}{\sin^2 \theta}$ , obtenemos que

$$\mathcal{H} = \underbrace{\frac{p_\theta^2}{2I_0}}_{\text{cte}} + \frac{p_\chi^2}{2I_3} + \frac{(p_\varphi - p_\chi \cos \theta)^2}{2I_0 \sin^2 \theta} + Mgl \cos \theta = E \rightarrow \text{Sistema conservativo}$$

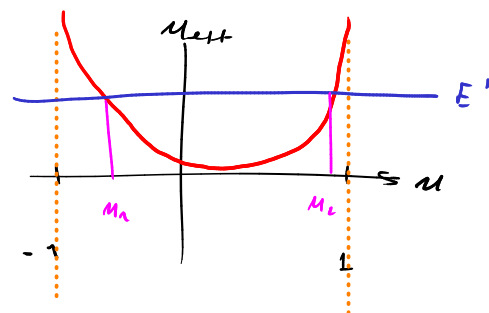
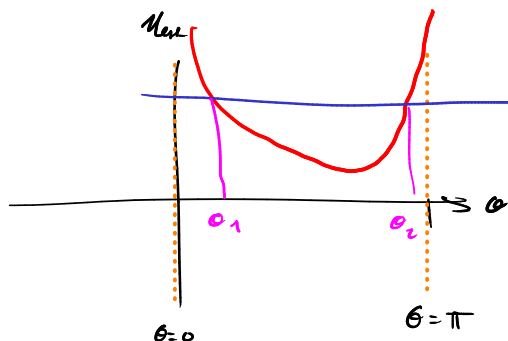
→ Contribuye en  $\dot{q}^2$   
→  $\partial \mathcal{H} / \partial t = 0$

Las eqs. (3-5) son  $\dot{q}_i = \partial \mathcal{H} / \partial p_i$ , y sabemos que  $p_\chi = \dot{\varphi} = 0$ . Entonces: falta  $-p_\theta = \partial \mathcal{H} / \partial \dot{\theta}$  pero recordemos que  $\mathcal{H} = E$  es una cantidad conservada.

$$\Rightarrow E' = E - \underbrace{\frac{p_\chi^2}{2I_3}}_{\text{cte}} = \frac{p_\theta^2}{2I_0} + \left( \frac{(p_\varphi - p_\chi \cos \theta)^2}{2I_0 \sin^2 \theta} + Mgl \cos \theta \right) = \frac{p_\theta^2}{2I_0} + \mathcal{U}_{\text{eff}}(\theta)$$

Analicemos la dinámica del sistema como función de  $\theta$  y de  $\mu = \cos \theta$

$$\mathcal{U}_{\text{eff}}(\theta) = \frac{(p_\varphi - p_\chi \cos \theta)^2}{2I_0 \sin^2 \theta} + Mgl \cos \theta \longrightarrow \mathcal{U}_{\text{eff}}(\mu) = \frac{(p_\varphi - p_\chi \mu)^2}{2I_0 (1 - \mu^2)} + Mgl \mu$$



Del diagrama, vemos que para una  $E'$  fija, el momento está acotado a dos ángulos

$$\Rightarrow E' = E - \frac{p_\chi^2}{2I_3} = \frac{p_\theta^2}{2I_0} + \mathcal{U}_{\text{eff}}(\theta) \Rightarrow p_\theta^2 = 2I_0 (E' - \mathcal{U}_{\text{eff}}) = (I_0 \dot{\theta})^2$$

$$\Rightarrow \dot{\theta}^2 = \frac{2}{I_0} (E' - \mathcal{U}_{\text{eff}}) = \left( \frac{d\theta}{dt} \right)^2 = \left( \frac{d\theta}{d\mu} \frac{d\mu}{d\theta} \right)^2 = \left( \frac{1}{\frac{d\mu}{d\theta}} \right)^2 \dot{\mu}^2 = \frac{\dot{\mu}^2}{1 - \mu^2}$$

Entonces  $\dot{\mu}^2 = \frac{2}{I_0} \left( E' - \frac{(p_\varphi - p_\chi \mu)^2}{2I_0 (1 - \mu^2)} - Mgl \mu \right) (1 - \mu^2)$

$$= \dot{\mu}^2 = \frac{2}{I_0} (E' - Mgl \mu) (1 - \mu^2) - \left( \frac{p_\varphi - p_\chi \mu}{I_0} \right)^2 = f(\mu) \geq 0$$

$\Rightarrow f(\mu) = 0 \Rightarrow \dot{\mu}^2 = 0 = \dot{\mu}$  puntos de retorno en la trayectoria

a distancia  $l$

$$\int dt = \int \frac{du}{\sqrt{f(u)}} \quad \text{---> Número}$$

¿y potes superior?

Analicemos  $f(u) = 0 \rightarrow$  Polinomio cúbico, sup.  $f(u_i) = 0, i = 1, 2, 3$

a)  $u_1 \in \mathbb{R}, u_2 = u_3^* \in \mathbb{C}$

b)  $u_1 = u_2 \neq u_3, u_i \in \mathbb{R}$

c)  $u_1 \neq u_2 \neq u_3, u_i \in \mathbb{R}$

Desarrollando  $f(u) = \frac{2Mgl}{I_0} u^3 - \frac{2}{I_0} \left( E - \frac{p_4^2}{2I_3} \right) u^2 + \frac{2}{I_0} \left( E - \frac{p_4^2}{2I_3} \right) - \frac{2Mgl}{I_0} u - \left( \frac{p_4}{I_0} \right)^2 - \left( \frac{p_4}{I_0} \right)^2 u^2 + 2 \left( \frac{p_4}{I_0} \frac{p_4}{I_3} \right) u$

$$= \underbrace{\left( \frac{2Mgl}{I_0} \right)}_{\beta} u^3 - \left[ \underbrace{\left( \frac{p_4}{I_0} \right)^2}_{a} + \underbrace{\frac{2}{I_0} \left( E - \frac{p_4^2}{2I_3} \right)}_{\alpha} \right] u^2 + \left[ 2 \underbrace{\left( \frac{p_4}{I_0} \right) \left( \frac{p_4}{I_3} \right)}_{2ab} - \underbrace{\left( \frac{2Mgl}{I_0} \right)}_{\beta} \right] u + \left[ \underbrace{\frac{2}{I_0} \left( E - \frac{p_4^2}{2I_3} \right)}_{\alpha} - \underbrace{\left( \frac{p_4}{I_0} \right)^2}_{b} \right]$$

$$f(u) = \beta u^3 - (a^2 - \alpha) u^2 + (2ab - \beta) u + (\alpha - b^2);$$

$$= (\alpha - \beta u)(1 - u^2) - (b - au)^2$$

$\beta > 0$   
 $a, b > 0$

$\alpha > 0$  si  
 $< 0$  si

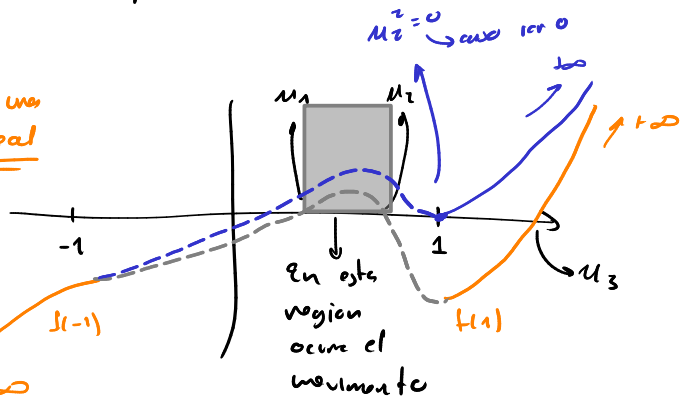
Supongamos  $\beta, a, b, \alpha > 0 \Rightarrow \theta_i \leq \pi/2 \Rightarrow u_i \geq 0$

Notemos que

$f(u) \xrightarrow{u \rightarrow \pm \infty} \pm \infty$  por  $\beta > 0$

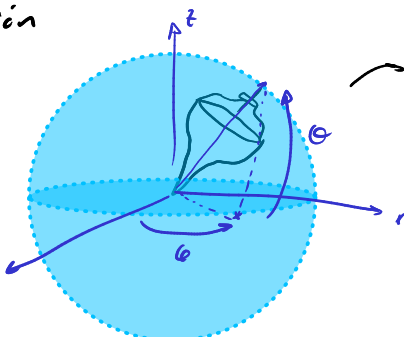
$$f(u) \Big|_{u=1} = -(b-a)^2 \leq 0$$

$f(1) = 0$  si  $b=a$   
al menos una raíz está en  $u > 1$ , lo que no tiene sentido físico.



Las raíces con sentido físico están entre  $0 \leq u \leq 1$  y para un tiempo real, además,  $u_i \geq 0$

Podemos estudiar las raíces  $u_i$  al expresar todo a un espacio de presión y rotación



Recordemos que

$$\dot{\phi} = \frac{p_\phi - p_\phi \cos \theta}{I_0 \sin^2 \theta} = \frac{b - au}{1 - u^2} = \frac{a(b/a - u)}{1 - u^2}$$

$$f(u) = (\alpha - \beta u)(1 - u^2) - (b - au)^2 = (\alpha - \beta u)(1 - u^2) - a^2 \left( \frac{b}{a} - u \right)^2$$

$$0 < u_1 < u < u_2 < 1 \xrightarrow{a)} \sup \dots u_2 < b/a \Rightarrow$$

Movimiento.

$$b) \sum p \quad u_1 < \frac{b}{a} < u_2$$

$$c) \sum p \quad u_i = \frac{b}{a}$$

$$\dot{\varphi} = a \left( \frac{b}{a} - u \right) \frac{b/a - u}{1 - u^2} \Rightarrow \frac{b/a - u}{1 - u^2} > 0$$

$\Rightarrow \dot{\varphi} > 0$  y nunca cambia de signo  
 $\Rightarrow \dot{\varphi}$  sí puede cambiar de signo  
 $\Rightarrow \dot{\varphi} = 0 = \dot{\theta} \rightarrow$  hay un giro abrupto.

\* Nota

$$\frac{b}{a} = \frac{p_\varphi}{p_\theta}$$

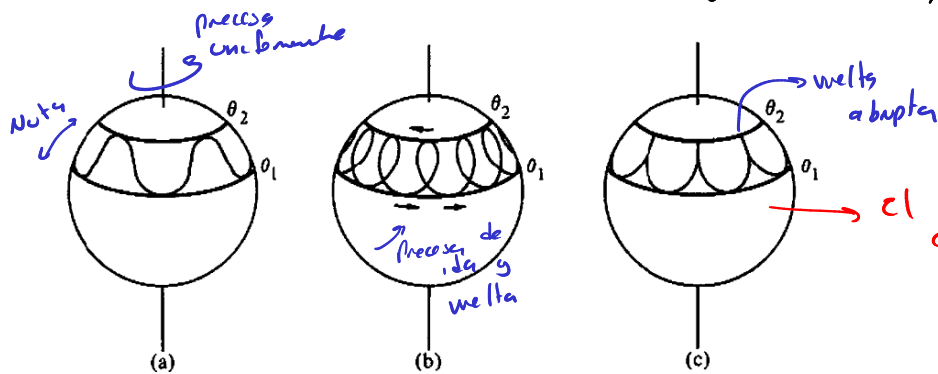


FIGURE 5.9 The possible shapes for the locus of the figure axis on the unit sphere.

El caso no es tan raro  
 considerando las  
 condiciones iniciales

$t \rightarrow t_0$

$$\theta(t_0) = \theta_0$$

$$\dot{\theta}(t_0) = \dot{\varphi}(t_0) = 0$$

Que el cuerpo rote sobre  
 sí mismo, se incline en  
 una dirección y se vuelte